

Федеральное государственное бюджетное образовательное  
учреждение высшего профессионального образования Московский  
государственный технический университет имени Н.Э. Баумана

Домашнее задание №1.  
«Построение статической модели  
на основе статистических данных»  
по курсу  
«Моделирование»

Студент группы ИУ9-82

Белогуров А.А.

Преподаватель

Домрачева А.Б.

Москва, 2018

# Содержание

<b>1</b>	<b>Постановка задачи</b>	<b>3</b>
<b>2</b>	<b>Теоретические сведения</b>	<b>5</b>
2.1	Основные определения триангуляции. . . . .	5
2.2	Итеративный алгоритм с динамическим кэшированием поиска . . . . .	7
2.3	Построение статической модели . . . . .	8
<b>3</b>	<b>Практическая реализация</b>	<b>10</b>
<b>4</b>	<b>Результаты</b>	<b>15</b>
<b>5</b>	<b>Вывод</b>	<b>20</b>
	<b>Список используемой литературы</b>	<b>21</b>

# 1 Постановка задачи

Дана STL модель треугольной кости **Patella**. [1].

***Patella*** представляет собой треугольную кость, хранящуюся в четырехглавой мышце сухожилия бедра, которая соединяет переднюю часть кости фибулы. Он защищает коленный сустав спереди и улучшает сцепление мышц бедра над коленом.

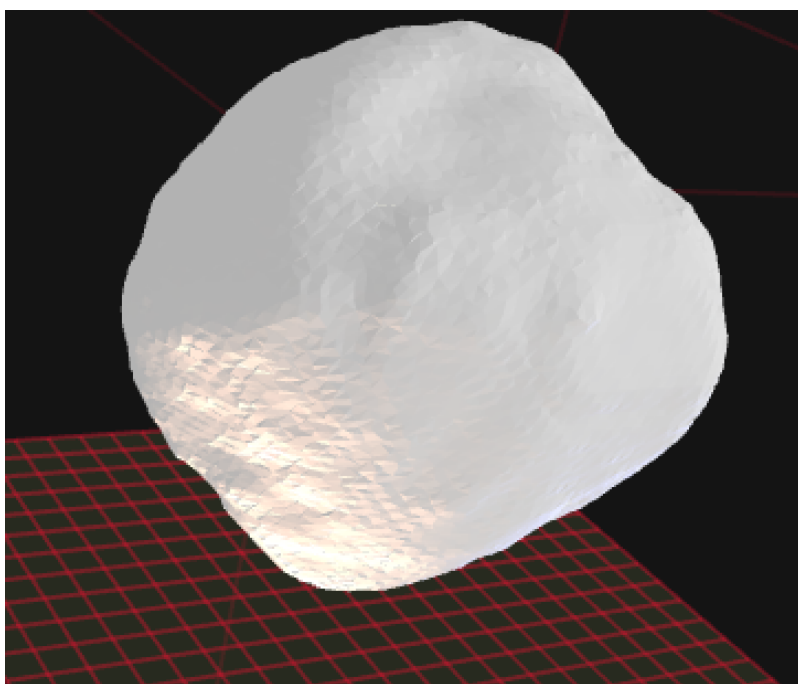


Рис. 1: STL модель Patella

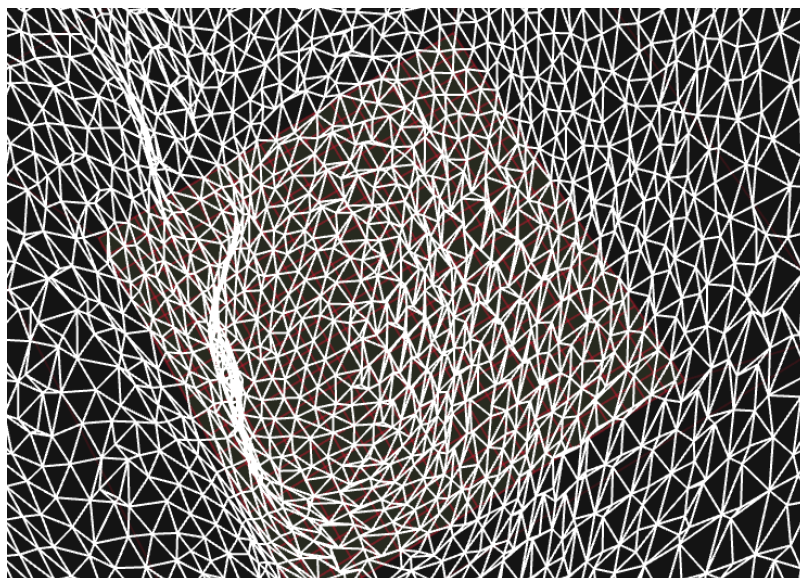


Рис. 2: Триангулированная STL модель Patella  
(вид изнутри)

Необходимо построить статическую модель на основе данных из STL модели с помощью итеративного алгоритма триангуляции с динамическим кешированием поиска.

## 2 Теоретические сведения

### 2.1 Основные определения триангуляции.

Триангуляцией называется планарный граф, все внутренние области которого являются треугольниками. [2]

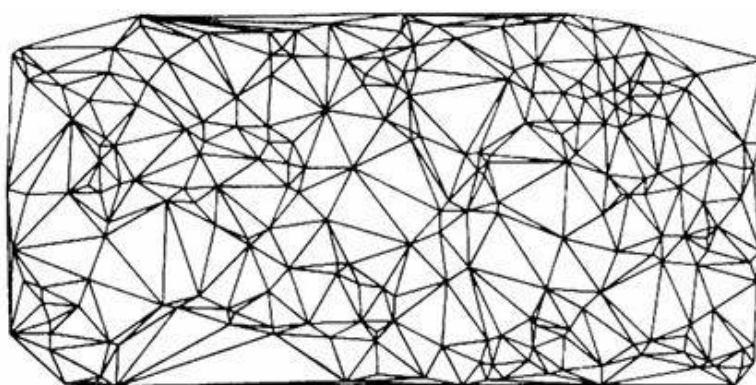


Рис. 3: Пример триангуляции

**Выпуклой триангуляцией** называется такая триангуляция, для которой минимальный многоугольник, охватывающий все треугольники, будет выпуклым. Триангуляция, не являющаяся выпуклой, называется **невыпуклой**. [2]

Триангуляция удовлетворяет **условию Делоне**, если внутри окружности, описанной вокруг любого построенного треугольника, не попадает ни одна из заданных точек триангуляции. [2]

Триангуляция называется **триангуляцией Делоне**, если она является выпуклой и удовлетворяет условию Делоне (Рис. 4)

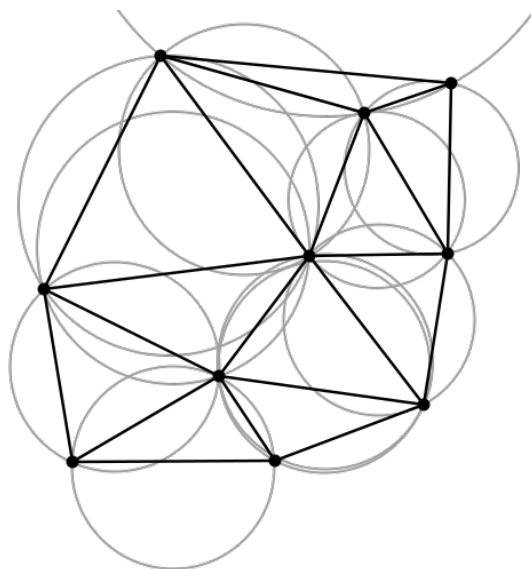


Рис. 4: Триангуляция Делоне

## 2.2 Итеративный алгоритм с динамическим кэшированием поиска

1. Создание суперструктуры, которая будет покрывать все точки. *(В данном случае создается прямоугольник, который разбивается диагональю на два треугольника. Следовательно, получаем на этом шаге триангуляцию, которая состоит из двух одинаковых треугольников)*
2. Выполняем цикл по  $n$  точкам для пунктов 3-5.
3. Очередная  $n$ -ая точка добавляется в триангуляцию следующим образом. Вначале производится локализация точки с помощью динамического кэша.
  - 3.1. Если точка попадает в эpsilon-окрестность любой другой вершины триангуляции, то она отбрасывается.
  - 3.2. Если точка попала на некоторое ребро, то оно разбивается на два новых, а оба смежных с ребром треугольника также делятся на два меньших.
  - 3.3. Если точка попала строго внутрь какого-нибудь треугольника, он разбивается на три новых.
  - 3.4. Если точка попала вне триангуляции, то строится один или более треугольников. *(Так как на первом шаге была построена суперструктура, то все точки заведомо будут лежать внутри нее. Поэтому выполнение этого пункта невозможно)*
4. Проводятся локальные проверки вновь полученных треугольников на соответствие условию Делоне и выполняются необходимые перестроения.

## 2.3 Построение статической модели

1. Определяется вид представления данных: *табличный, графический, аналитический*. Так как STL-файл представляет данные в виде треугольников, задавая координаты в виде структуры  $(X, Y, Z)$ , то их можно сконвертировать и получить двумерную таблицу координат, где строка будет обозначать номер точки, а столбцы - сами значения  $X, Y, Z$ :

Таблица 1: Представление данных из STL-файла

	X	Y	Z
1	26.962	-12.915	30.867
2	-23.186	-2.281	47.389
3	-27.214	8.590	49.183
4	4.581	35.241	43.468
...	...		
42528	11.665	48.690	14.587

2. Необходимо обозначить исследуемые и независимые показатели. Соответственно, это будут координаты  $(X, Y, Z)$ .
3. Необходимо провести оптимизацию представления данных по выбранному алгоритму. Выше было сказано, что STL-файл представляет данные в виде треугольников, обозначая координаты для каждой вершины. Но таких треугольников большое множество, следовательно одна точка может быть вершиной для нескольких смежных треугольников. Удалив дубликаты точек двумерная таблица уменьшила свой размер до 7090 строк, что в 6 раз меньше, чем ее исходный размер.
4. Далее формулируется общее уравнение и формулируются одна и более вычислительных задач, конкретизируется формальное



описание решений этих задач с целью выбора численного метода их решения. Повторно оценивается возможность упрощения модели, если это возможно.

Общие уравнения и сама вычислительная задача заложены в используемом алгоритме триангуляции. Но на практике в нем были выявлены артефакты при отображении граничных случаев, а именно тогда, когда большое количество точек располагаются на двух и более плоскостях друг над другом. Алгоритм не может выявить, какой именно плоскости принадлежит данная точка, а следовательно триангуляция становится "рваной" и "нецелостной". Для этого таблица была разбита на две части (что соответствует двум плоскостям), в одной ее части  $Z \leq 30$ , в другой  $Z > 30$ . Далее обе части просто были соединены в одной отображаемой области.

### 3 Практическая реализация

Далее приведена реализация некоторых методов программы на языке JavaScript, визуализация выполняется с помощью библиотеки THREE.JS.

**Листинг 1** Создание суперструктуры.

```
1  /**
2   * Создание суперструктуры, внутри которой будет происходить
3   * ↪ триангуляция
4   * @param {Point} topLeft
5   * @param {Point} bottomRight
6   */
7  Triangulation.prototype.createSuperstructure = function(topLeft,
8   ↪ bottomRight) {
9      // Инициализация двух треугольников
10     var left = new Triangle();
11     var right = new Triangle();
12
13     var bottomLeft = new Point(topLeft.X, bottomRight.Y);
14     var topRight = new Point(bottomRight.X, topLeft.Y);
15
16     // Инициализация ребер суперструктуры
17     var diagonal = new Rib(topLeft, bottomRight, left, right);
18     var leftRib = new Rib(topLeft, bottomLeft, left, null);
19     var rightRib = new Rib(topRight, bottomRight, right, null);
20     var topRib = new Rib(topLeft, topRight, right, null);
21     var bottomRib = new Rib(bottomLeft, bottomRight, left, null);
22
23     // Определение ребер для треугольников
24     left.setRibs(leftRib, bottomRib, diagonal);
25     right.setRibs(rightRib, topRib, diagonal);
26
27     // Обновление структуры треугольников
28     left.update();
29     right.update();
30
31     // Добавление треугольников в кэш
32     this.cache.initialize(left, right, left, right);
```

```

31
32     return [left, right];
33 };

```

## Листинг 2 Вставка новой точки в триангуляцию

```

1  /**
2   * Вставка новой точки в триангуляцию
3   * 1) Нахождение треугольника или ребра, куда попала новая точка
4   * 2) Если точка попадает в эpsilon-окрестность любой другой
5   *    ↪ вершины триангуляции - игнорировать ее
6   * 3) Если точка попадает на ребро, то треугольники с этим ребром
7   *    ↪ разбиваются на два новых
8   * 4) Если точка попадает внутрь треугольника - треугольник
9   *    ↪ разбивается на три новых
10  * @param {Point} node Новая точка
11  * @returns {array} Массив новых\измененных треугольников
12  */
13  Triangulation.prototype.calcTriangulation = function (node) {
14      // Шаг 1)
15      var initTriangle = this.cache.get(node);
16      var targetTriangle = this.findTriangleBySeparatingRibs(node,
17          ↪ initTriangle);
18
19      // Шаг 2)
20      for (i = 0; i < targetTriangle.vertices.length; i++) {
21          var vert = targetTriangle.vertices[i];
22          if (vert.isInEpsilonAreaPoint(node)) {
23              return null;
24          }
25      }
26
27      // Массив новых и измененных треугольников
28      var newAndModifiedTriangles = null;
29      var newTriangles = null;
30
31      // Шаг 3)
32      var targetTriangleRibs = targetTriangle.ribs;
33      for (var i = 0; i < targetTriangleRibs.length; i++) {

```

```

30         if
31             ↪ (isInEpsilonArea(distanceToLine(targetTriangleRibs[i].A,
32             ↪ targetTriangleRibs[i].B, node), 0)) {
33                 newAndModifiedTriangles =
34                 ↪ this.putPointOnRib(targetTriangleRibs[i], node,
35                 ↪ newTriangles);
36                 break;
37             }
38     }
39
40     // Шаг 4)
41     if (newAndModifiedTriangles == null) {
42         var triangles = this.putPointInTriangle(targetTriangle,
43         ↪ node, newTriangles);
44         newAndModifiedTriangles = triangles.mdTr;
45         newTriangles = triangles.newTr;
46     }
47     // Увеличение кол-ва вершин в кэше
48     this.cache.incrementNodeCount(newTriangles.length);
49
50     // Добавление новых треугольников в кэш
51     for (i = 0; i < newTriangles.length; i++) {
52         this.cache.update(newTriangles[i]);
53     }
54
55     return newAndModifiedTriangles;
56 };

```

### Листинг 3 Попадание точки внутрь треугольника

```

1  /**
2   * Попадание узла внутрь треугольника
3   * @param {Triangle} T
4   * @param {Point} node
5   * @param {Array<Triangle>} newTriangles
6   * @return {Array<Triangle>} Измененные треугольники
7   */
8  Triangulation.prototype.putPointInTriangle = function(T, node,
9   ↪ newTriangles){

```

```

9      // Вершины
10     // node == 0
11     var A = T.verticies[0];
12     var B = T.verticies[1];
13     var C = T.verticies[2];
14
15     // Треугольники
16     var LT = new Triangle();
17     var RT = new Triangle();
18
19     newTriangles = [LT, RT];
20
21     // Ребра
22     var AB = T.getRib(A, B);
23     var BC = T.getRib(B, C);
24     var AC = T.getRib(A, C);
25
26     // Новые ребра.
27     var OA = new Rib(node, A, LT, T);
28     var OB = new Rib(node, B, LT, RT);
29     var OC = new Rib(node, C, RT, T);
30
31     // Обновление ссылок на смежные треугольники
32     AB.update(T, LT);
33     BC.update(T, RT);
34
35     // Обновление старых ребер на новые
36     T.updateRib(AB, OA);
37     T.updateRib(BC, OC);
38
39     // Определение новых ребер треугольника
40     LT.setRibs(AB, OB, OA);
41     RT.setRibs(BC, OB, OC);
42
43     // Добавление новых треугольников в триангуляцию
44     this.triangles.push(LT);
45     this.triangles.push(RT);
46
47     // Обновление структур треугольников
48     T.update();
49     LT.update();
50     RT.update();

```

```

51
52     var modifiedTriangles = [T, LT, RT];
53     // Return new and modified triangles.
54     return {
55         newTr: newTriangles,
56         mdTr: modifiedTriangles
57     }
58 };

```

#### Листинг 4 Локализация точки

```

1  /**
2   * Найти треугольник в кэше по точке
3   * @param {Point} node Точка
4   * @return {Triangle} Треугольник из кэша
5   */
6  DynamicCache.prototype.get = function(node)
7  {
8      var row = this.getRow(node.Y);
9      var col = this.getCol(node.X);
10     return this.cache[row][col];
11 };

```

## 4 Результаты

Далее будут приведены результаты программы для разных частей ( $Z > 30$ ,  $Z \leq 30$ ):

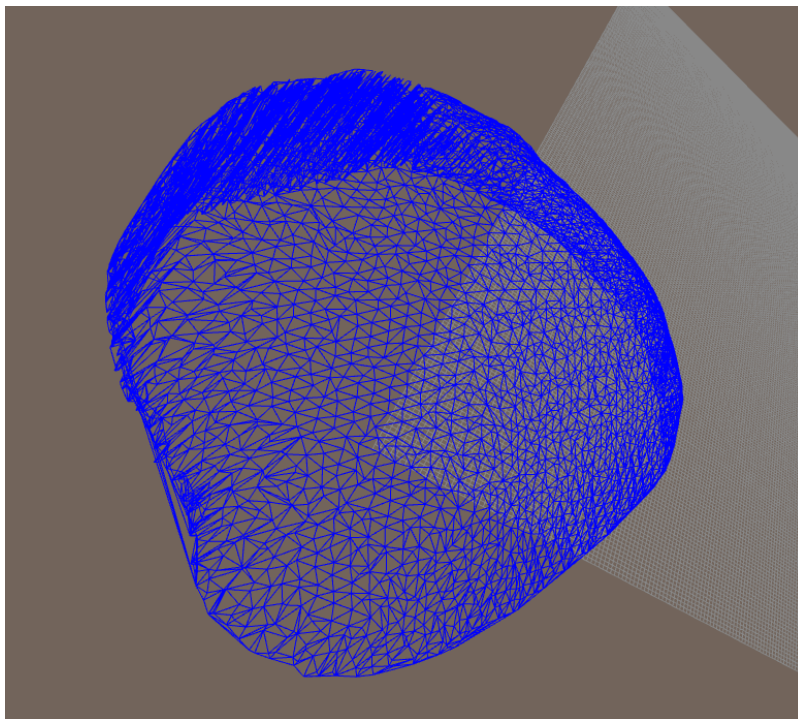


Рис. 5: Верхняя часть ( $Z > 30$ ) - вид сверху (1)

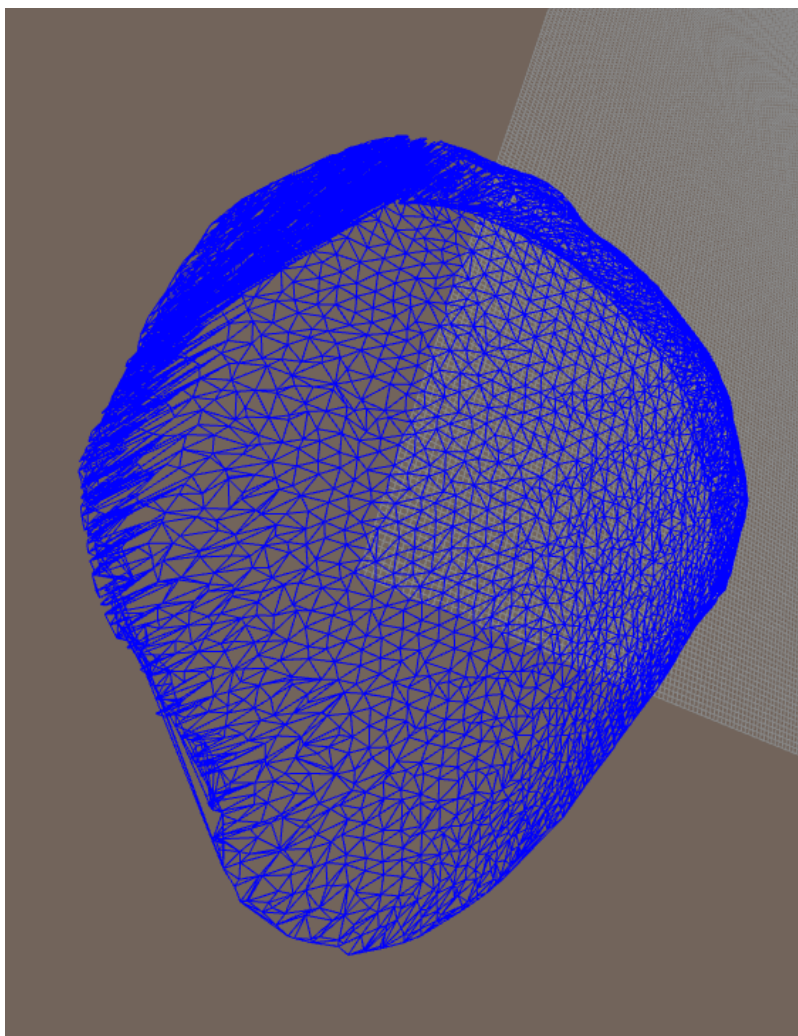


Рис. 6: Верхняя часть ( $Z > 30$ ) - вид сверху (2)



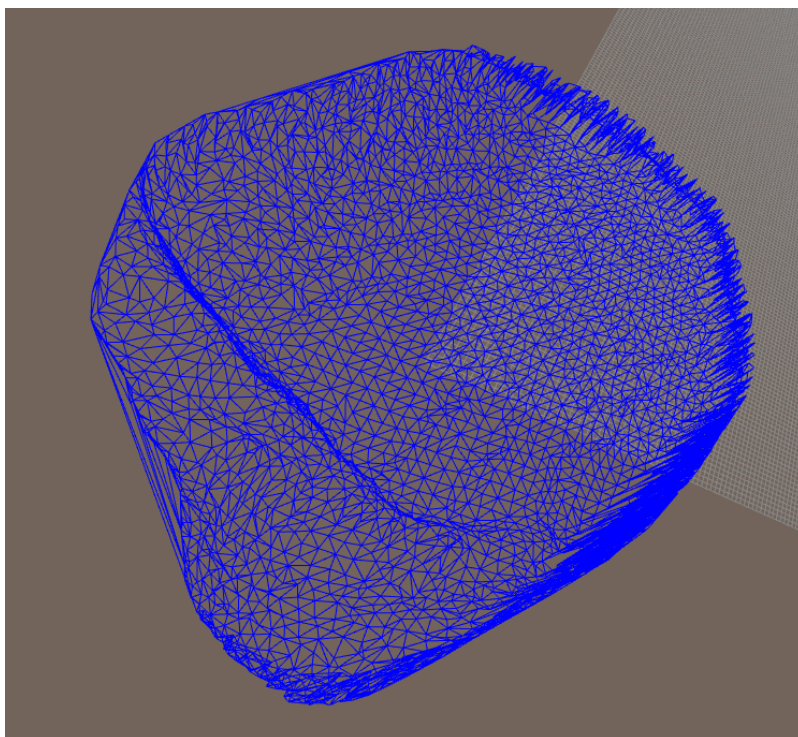


Рис. 7: Нижняя часть ( $Z \leq 30$ ) - вид сверху

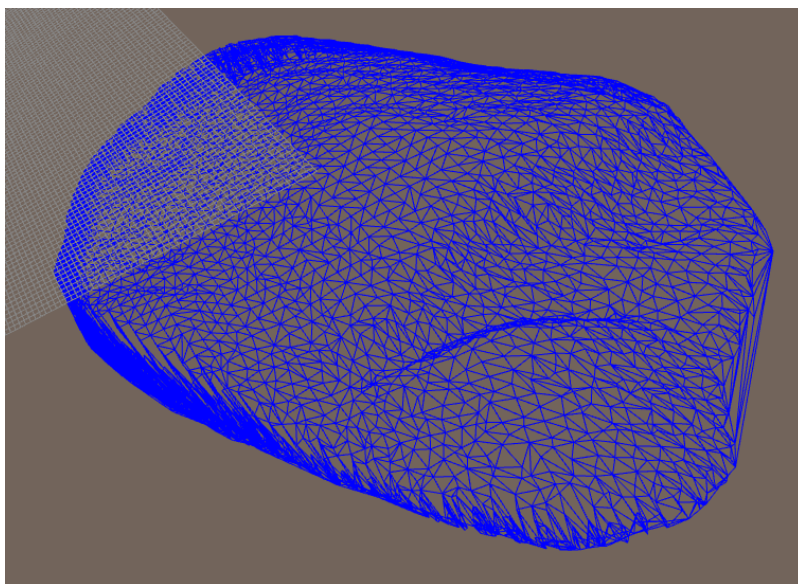


Рис. 8: Нижняя часть ( $Z \leq 30$ ) - вид снизу

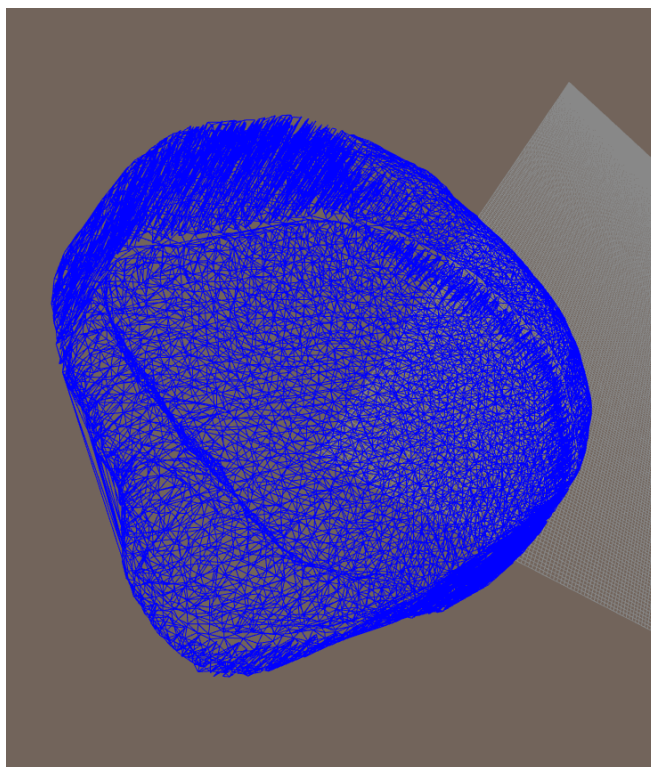


Рис. 9: Обе части - вид сверху

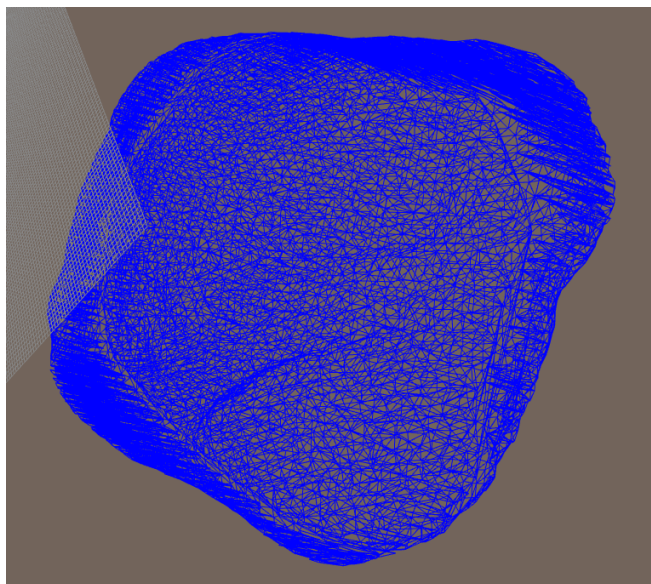


Рис. 10: Обе части - вид снизу

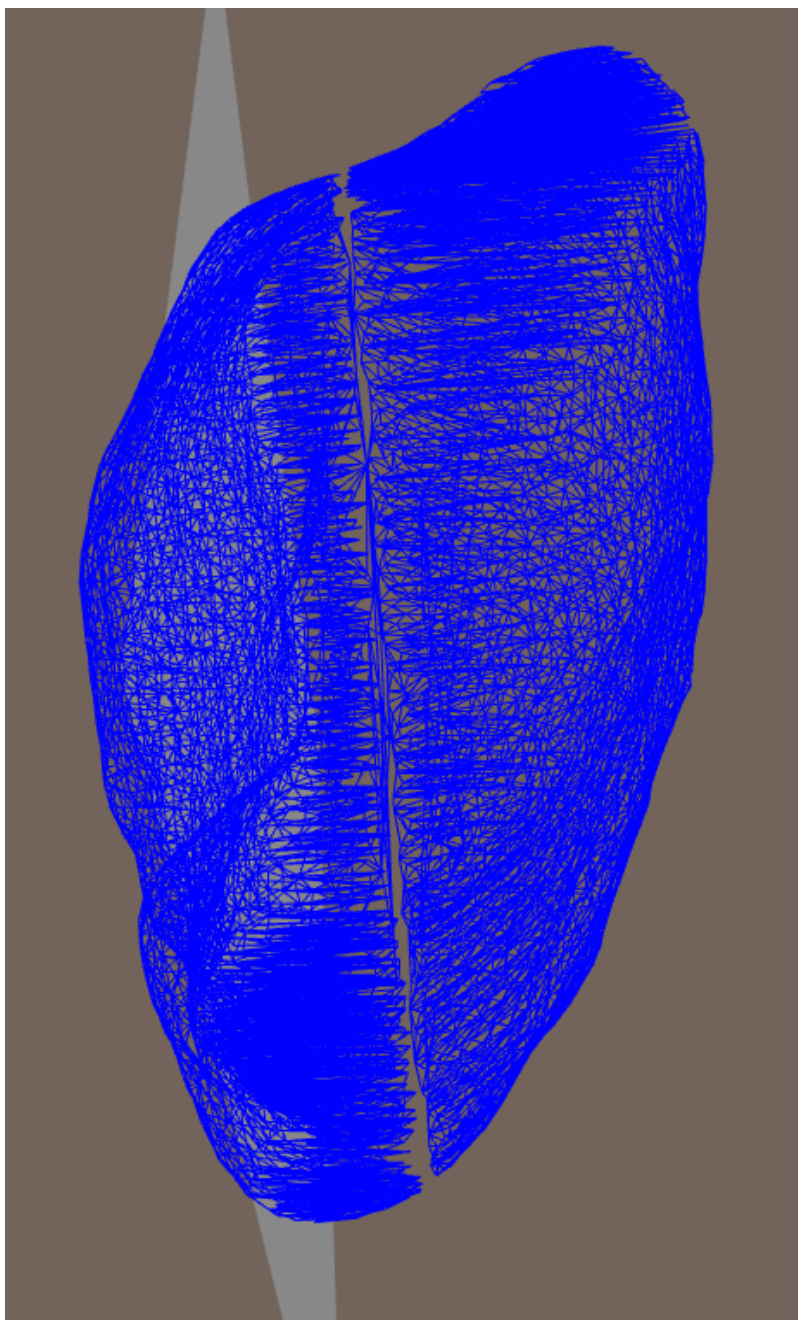


Рис. 11: Обе части - вид сбоку

Как видно на последнем рисунке, присутствует разрыв между двумя частями, а именно это плоскость  $Z = 30$ , по которой разделялись данные из двумерной таблицы.

## 5 Вывод

В ходе выполнения лабораторной работы были изучены алгоритмы построения триангуляции Делоне и реализован итеративный алгоритм с динамическим кэшированием поиска. Он выигрывает по быстродействию у всех существующих, так как имеют динамическую структуру - кэш, который служит для быстрой локализации точки. Данный факт был подтвержден для большого количества данных.

Также была построена статическая модель на основе STL-модели кости **Patella**. Для формирования стат. данные были взяты из двумерной таблицы, которые впоследствии были упрощены путем избавления от дублированных точек. Так же был выявлен артефакт данного алгоритма триангуляции, из-за чего STL-модель пришлось делить на две части.

## Список литературы

- [1] Left lower limb | Biomechanika 2. [http://biomechanika.fme.vutbr.cz/index.php?option=com\\_content&view=article&id=72&Itemid=77&lang=en](http://biomechanika.fme.vutbr.cz/index.php?option=com_content&view=article&id=72&Itemid=77&lang=en). Online, accessed 03-April-2018.
- [2] Скворцов А. В. Триангуляция Делоне и её применение. 2002. 128 с.